

فصل دوم:

تنش و کرنش ناشی از

نیروی محوری

Chapter 2: Stress and strain-Axial loading

Contents + فهرست مطالب

Introduction - مقدمه

- 2.1) An introduction to stress and strain (2.1) مقدمه ای بر تنش و کرنش
- 2.1A) Normal strain under axial loading (2.1A) کرنش نرمال (محوری) ناش از بارگذاری محوری
- 2.1B) stress-strain diagram (2.1B) دیاگرام تنش-کرنش
- 2.1C) True stress and true strain (2.1C) تنش حقیقی و کرنش حقیقی
- 2.1D) Hooke's law: Modulus of elasticity (2.1D) قانون هوک، مدول الاستیسیته
- 2.1E) Elastic versus plastic behavior of a material (2.1E) رفتار الاستیک در مقابل بارخار، پلاستیک، برگزیده
- 2.1F) Repeated loadings and fatigue (2.1F) بارگذاری تکراری و پدیده خستگی
- 2.1G) Deformations of members under axial loading (2.1G) تغییر شکل در اعضای تحت بارگذاری محوری
- 2.2) statically indeterminate problems (2.2) سائلی که از نظر استاتیکی نامعین میباشند
- 2.3) Problems involving temperature changes (2.3) سائلی که تغییرات دما را در نظر میگیرند
- 2.4) Poisson's ratio (2.4) نسبت پواسون
- 2.5) Multiaxial loading: Generalized Hooke's law (2.5) بارگذاری چند جهته، قانون هوک توسعه یافته
- 2.6) Dilatation and bulk modulus (2.6)
- 2.7) shearing strain (2.7) کرنش برش
- 2.8) Deformations under axial loading - relation between ϵ , ν , and G (2.8) تغییر شکل ناش از بارگذاری محوری - ارتباط بین ϵ , ν , و G
- 2.9) stress-strain relationships for fiber-reinforced composite materials (2.9) رابطه بین تنش-کرنش در مواد کامپوزیتی تقویت شده
- 2.10) stress and strain distribution under axial loading: Saint-Venant's principle (2.10) توزیع تنش و کرنش ناش از بارگذاری محوری: اصل سنت و نانت

این از هزینه‌های مهم تحلیل و طراحی سازه‌ها، میزان تغییر شکل ناشی از نیرو است. اهمیت این موضوع در این است که اینها باید از ایجاد تغییر شکل بزرگ در سازه‌ها که سبب می‌شوند آنها هدیه که برای آن طراحی شده‌اند را نتوانند انجام دهند، جلوگیری شود. (ب) تحلیل تغییر شکل در یک سازه می‌تواند در تعیین تنش کمک نماید. باید هم این نکته توجه کرد که همیشه این امکان وجود ندارد که بتوان نیرو را درون یک سازه را با استفاده از توان این استاتیک تعیین نمود. این امر بنا بر این است که سازه‌ها خواص و تغییر شکل ناپذیر باشند.

با تحلیل تغییر شکل در سازه‌های مهندسی، می‌توان نیرو را در سازه‌هایی که از نظر استاتیکی نامعین می‌باشند را تعیین نمود. با بدست آوردن توزیع تنش در یک عضو از نظر استاتیکی نامعین می‌باشند حتی اگر نیرو در آن عضو مشخص باشند در این فصل، تغییر شکل اعضا سازه‌ها مثل میل، تیر و صفحه بررسی می‌شوند. ابتدا کرنش نرمال، ϵ ، تعریف می‌شود. سپس نمودار تنش-کرنش یک ماده تفسیر می‌شود. از روی این نمودار، یک تیر در یک ماده مانند فولاد الاستیک، و اینکه آیا ماده نرم یا ترد است قابل تعیین می‌باشد. علاوه بر این، این نمودار می‌تواند میس می‌کند که آیا کرنش در یک ماده، بعد از برداشتن بار، حذف می‌شود یا در آن باقی می‌ماند.

2.1 مقدمه ای بر تنش و کرنش

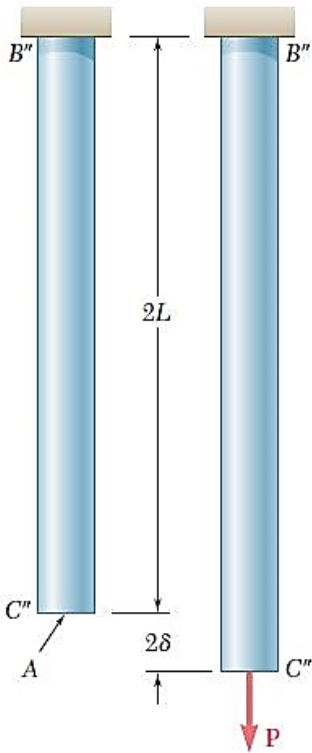
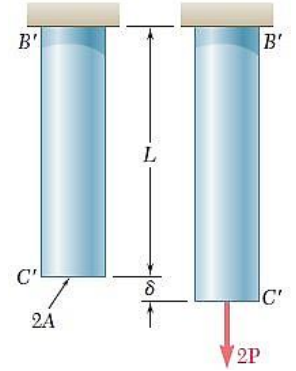
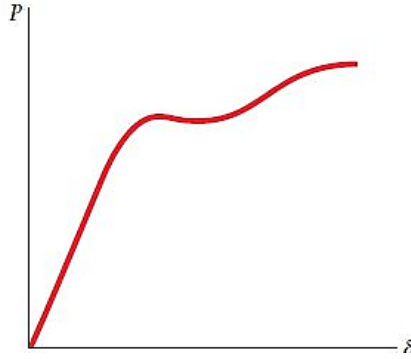
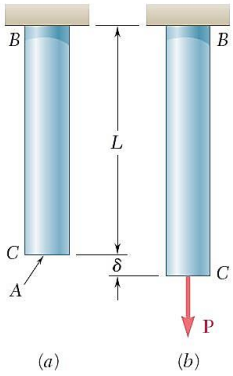
2.1) An introduction to stress and strain

2.1A) کرنش عمودی (نرمال) ناشی از بارگذاری عمودی

2.1A) Normal strain under axial loading

میل BC به طول L و سطح مقطع یکینواخت A را که از انتهای B خود آویزان است در نظر بگیرید (شکل 1a). اگر به انتهای C میل، نیروی P اعمال شود میل به اندازه δ تغییر طول خواهد داد (شکل 1b). اگر نیروی P بر حسب تغییر شکل ϵ (دلتا) رسم شود نموداری بدست می‌آید که شامل اطلاعاتی است که برای تحلیل میل تحت بررسی مفید باشد (شکل 2). اما نمی‌توان از این نمودار برای تحلیل میل را با جنس مشابه اما ابعاد متفاوت استفاده نمود. به عنوان مثال، اگر بخواهیم در میل دیگری با سطح مقطع 2A، تغییر شکلی به اندازه میل BC، یعنی δ ، ایجاد شود باید به میل BC با طول L، نیروی $2P$ وارد کنیم (شکل 3).

در دو حالت ذکر شده، با اینکه ابعاد دیندی و درجه تفاوت است اما تنش یکسان است و برابر است با $\delta = \frac{P}{A} = \frac{2P}{2A}$.
 اکنون این حالت را در نظر بگیرید که به سیم این نام "B-C" با طول $2L$ و سطح مقطع A ، اگر نیروی P اعمال شود آن گاه تغییر طولی به اندازه 2δ در سیم ایجاد خواهد شد (شکل 4)



در سه حالت بررسی شده، با گذاردن و میزان تغییر طول تفاوت بوده است. اما می توان گفت کسی تعریف باید نمود که برای هر سه حالت یکسان باشد. به عنوان مثال، اگر نسبت تغییر طول ایجاد شده بر طول اولیه سیم تقسیم شود خواهیم داشت:

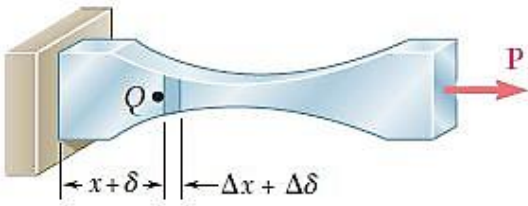
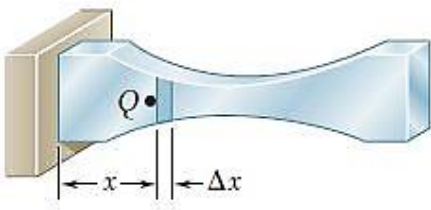
$$\frac{\delta}{L} = \frac{2\delta}{2L} \quad \text{I}$$

در این تنش در سه حالت داریم،

$$\delta = \frac{P}{A} = \frac{2P}{2A} \quad \text{II}$$

رابطه I تعریف نسبت جدیدی بنام کرنش (strain) می باشد که بر اساس نسبت تغییر طول ایجاد شده در سیم به ازای واحد طول تعریف

می شود و نسبتی بی بعد است. اکنون اگر بپای آنکه نیروی هر دو سیم تغییر طول را هم می شود نمودار تنش-کرنش رسم کرد متوجه می شویم که هر دو سیم در یک خط قرار می گیرند. این نشان می دهد که با گذاردن و تحت بارگذاری می باشد شامل مشخصات فیزیکی ماده خاص می باشد.



در شکل زیر میل میله بر روی شده دارای سطح مقطع یکدست در
 سر تا سر طول میله بوده اند. به همین دلیل فرض می شود که تنش $\frac{P}{A}$ در
 سر تا سر میله، دارای مقدار یکسان باشد. از آنجا که کرنش بر اساس نسبت
 تغییر شکل کل میل بر طول میله تعریف می شود بنابراین تعریف نون برای
 هر نقطه از میله نیز صادق می باشد. اما برای میله ای که دارای سطح مقطع
 متغیر می باشد تنش نرمال در طول میله تغییر می کند. به همین دلیل باید تعریف

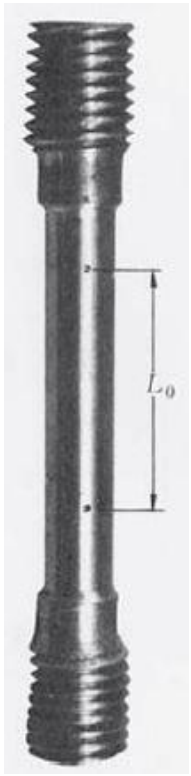
تساوی برای تعیین کرنش در هر نقطه بیان نمود. در این حالت، تسلان کوچک به طول اولیه Δx در نظر گرفته
 می شود و تغییر شکل آن برابر اعمال بار P تعیین می شود در داریم (شکل 5):

$$\epsilon = \lim_{\Delta x \rightarrow 0} \frac{\Delta \delta}{\Delta x} = \frac{d\delta}{dx} \quad \text{III}$$

2.1B) stress - strain diagram

2.1B) stress - strain diagram

برای ترسیم دیاگرام تنش - کرنش، از تست کشش یا فشار استفاده می شود.
 + تست کشش (Tensile test)



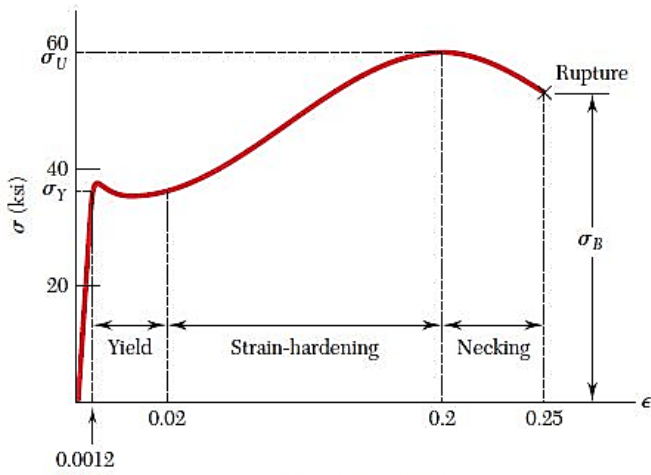
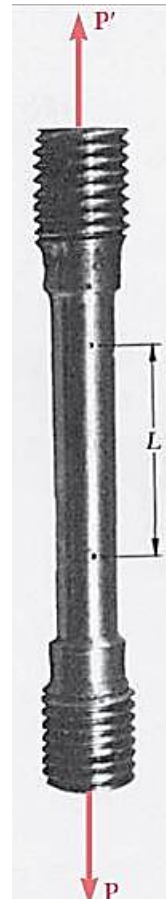
بار مثبت آردن دیاگرام تنش - کرنش یک ماده مشخص، از تست کشش
 بر روی نمونه ای از همین مورد نظر استفاده می شود. یک نمونه رایج از نمونه ای
 مورد استفاده در تست کشش را مشاهده می کنید (شکل 6).

قبل از انجام تست کشش، ابتدا مساحت سطح مقطع میانه میله، بصورت
 دقیق اندازه گیری می شود. سپس توسط درج (gauge) روی میله به اندازه
 L_0 نشانه گذاری می شود. نمونه فوق در داخل دستگاه تست قرار داده

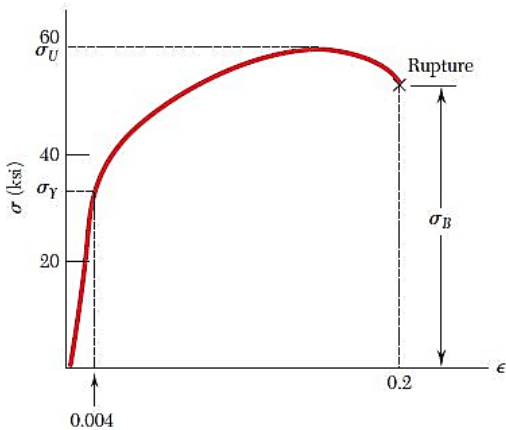
می شود (شکل 7) و تست نزدی P قرار می گیرد. به تدریج نزدی P
 افزایش داده می شود و در هر لحظه، ناصله بین دو نقطه، اندازه گیری و ثبت می شود.

(شکل 8). در قدم بعدی، ناصله طول لحظه ای میله با طول اولیه آن
 $\delta = L - L_0$ به دست می آید. با داشتن δ می توان کرنش لحظه ای را نیز

سبب نمود $(\epsilon = \frac{\delta}{L_0})$. با داشتن نزدی لحظه ای، می توان تنش لحظه ای $(\sigma = \frac{P}{A_0})$ را نیز تعیین نمود. نهایتاً با رسم
 داده ای (شکل 9) می توان دیاگرام تنش - کرنش یک ماده مشخص را رسم نمود.



(a) Low-carbon steel



(b) Aluminum alloy

- دیاگرام های تنش-کشش مواد مختلف، تفاوت می باشد
 و دیاگرام تنش-کشش یک ماده ممکن است اگر در سرعت های
 بارگذاری مختلف و دماهای مختلف رسم شود نتیجه متفاوتی
 را حاصل می شود. همان طور که قبلاً بیان شد یکی از مواردی
 که از روی دیاگرام های تنش-کشش قابل تشخیص می باشد
 تمدن یا نرم بودن ماده می باشد.

دو ویژگی دیاگرام تنش-کشش براد نرم عبارت است از:
 ① قابلیت تسلیم دارند.

② پس از شروع بارگذاری، طول نمونه افزایش می یابد. این
 منطقه از دیاگرام تنش-کشش، تشکیل خط راست می دهد
 که دارای شیب کم است.

③ با افزایش بیشتر بارگذاری، تنش به یک حد بحرانی می رسد که
 همان تنش تسلیم می گویند (B_y). درست در این نقطه،
 تحت یک افزایش بار نسبتاً کوچک، تغییر شکل نسبتاً
 بزرگی در نمونه مشاهده می شود که ناشی از لغزش در صفحات مرز
 ناشی از تنش برشی می باشد.

4) با افزایش بارگذاری، تنش درگرفتگی داخل نمونه افزایش می یابد (نمونه گرفتگی سختی strain hardening) تا آنکه بارگذاری به ماکزیمم خود برسد. در این لحظه، سطح مقطع نمونه، شروع به باریک شدن می کند. این امر ناشی از ناپایداری موضعی است که پدیده گلوپی شدن (necking) نامیده می شود. (شکل 11a).

5) بعد از ظاهر شدن پدیده گلوپی شدن، بدلیل کوچک شدن سطح مقطع، با نیروی کمتری نسبت به قبل می توان افزایش طول در نمونه ایجاد نمود تا جایی که نمونه می شکند.

6) سطح مقطع شکست داده نرم، مخروطی یا کله گندی است با زاویه کوچکی $\pm 45^\circ$. همان طوری که قبلاً اشاره شد در صفحات با زاویه $\pm 45^\circ$ ، تنش برش ماکزیمم می باشد. بنابراین می توان نتیجه گرفت که نمونه ای از جنس مواد نرم، نسبت به برش حساس بوده و در صفحاتی می شکند که تنش برش ماکزیمم باشد (شکل 11b).



(a)



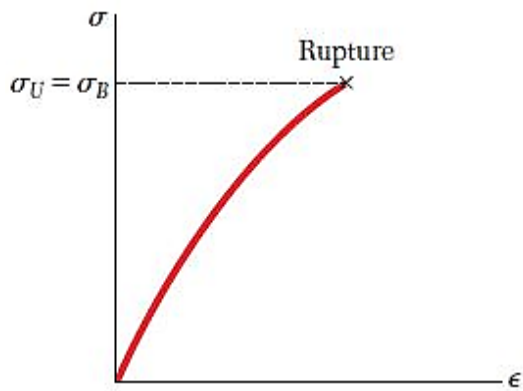
(b)

چند نکته :

الف) لزوماً نمودار تنش - کرنش مواد نرم، شیب منفرجه باشد (شکل 9, 10).

ب) شیب مثبت از دیاگرام تنش - کرنش که معبر است می باشد نشان دهنده مدول الاستیسیته (Young's modulus) می باشد.

ج) پدیده گرفتگی سختی.



• ویژگی‌های مواد ترد (Brittle) عبارت است از:

- ① تغییر قابل توجهی در نرخ افزایش طول آن مشاهده نمی‌شود.
- ② اختلاف بین نقاط نهایی و نقاط شکست وجود ندارد.
- ③ کرنش لحظه شکست مواد ترد بسیار کم تر از کرنش لحظه شکست مواد نرم می‌باشند. (شکل ۱۲)
- ④ پدیده کشش در مواد ترد اتفاق نمی‌افتد.
- ⑤ سطح مقطع شکست، عمود بر بزرگنمایی اتفاق می‌افتد و از آنجا که تنش محوری در زاویه $\theta = 0$ ماکزیمم می‌باشد می‌توان نتیجه گرفت نمونه‌های از جنس مواد ترد، نسبت به تنش محوری حساس بوده و در همان شکست اتفاق می‌افتد که تنش محوری (زمان) ماکزیمم باشد. (شکل ۱۳).



+ چیدگانه:

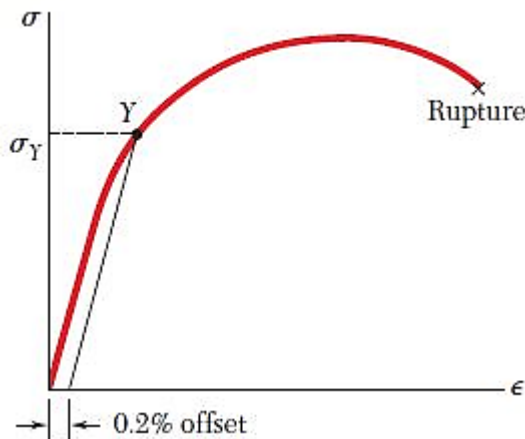
الف) اگر برای یک ماده نرم در نمودار تنش-کرنش، نقطه تسلیم نامشخص باشد، برای تعیین تنش تسلیم، از روش ۰.۲٪ آفست استفاده می‌شود، مانند ماده آلومینیم (شکل ۱۴).

ب) برای تعیین نرم یا ترد بودن یک ماده می‌توان از

۱) معیار درصد تغییر طول استفاده نمود که بصورت زیر تعریف می‌گردد:

$$\text{درصد تغییر طول} = 100 \times \frac{L_B - L_0}{L_0}$$

که L_B طول نمونه در لحظه شکست و L_0 طول اولیه نمونه می‌باشد. اگر کرنش در لحظه شکست بیش از ۰.۲ باشد می‌توان نتیجه گرفت که نمونه از جنس ماده نرم می‌باشد در غیر اینصورت، نمونه از جنس ماده ترد ساخته شده است.



2) معیار درصد کاهش سطح مقطع

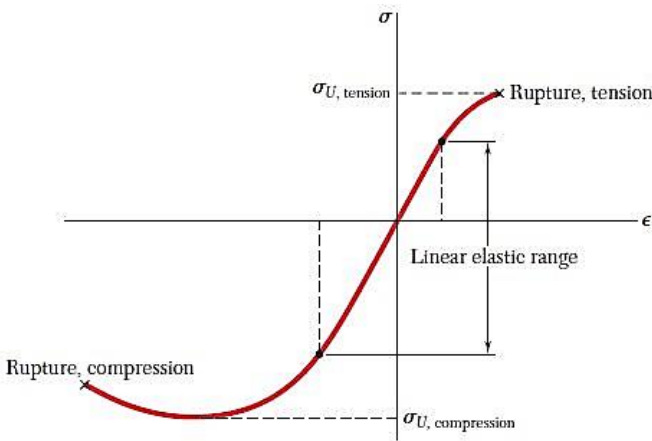
$$\text{درصد کاهش سطح مقطع} = 100 \times \frac{A_0 - A_B}{A_0}$$

که A_0 سطح مقطع نمونه قبل از بارگذاری و A_B سطح مقطع نمونه در لحظه شکست می باشد.
 نشان داده شده است که برای فولادها معمولاً، کاهش سطح مقطع در لحظه شکست، به اندازه 60 تا 70 درصد می باشد.

B + تست فشار (Compression test)

• دیگرام تنش-کشش مواد نرم حاصل از تست فشار

ابتدای نمودار تنش-کشش با شروع پدیده کشش سختی، مشابه آنچه از تست کشش بدست آمده است می باشد. به بیان دیگر، تنش تسلیم مواد نرم، در کشش و فشار یکسان می باشد. به ازای کشش بیشتر، نمودار تنش-کشش حاصل از تست فشار، تقارنت از نمودار تنش-کشش تست کشش می باشد در تست فشار، پدیده گلوپ شدن مشاهده نمی شود.



• دیگرام تنش-کشش مواد سرد حاصل از تست فشار

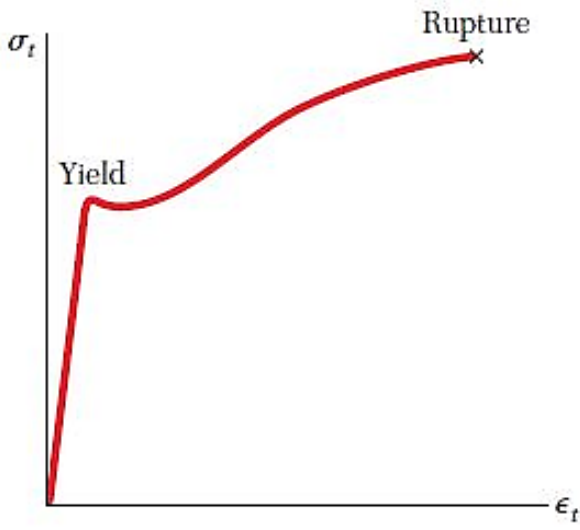
تقارنت نواب در فشار بیشتر از تقارنت نوابی در کشش می باشد که این ارتباط وجود ترک و جابجایی است که در نمونه وجود دارد. به سبب ضعیف شدن نمونه در اثر تست کشش و سرد در حالتی که

تا بیشتر در تقارنت نمونه تحت فشار ندارد (شکل 15). مدل الاستیک مواد سرد، که از روی سبب ناحیه خطی نمودار تنش-کشش بدست می آید، در حدود دیگرام حاصل از تست کشش و فشار یکسان است.

2.1c) تنش حقیقی در کشش حقیقی

2.1c) True stress and true strain

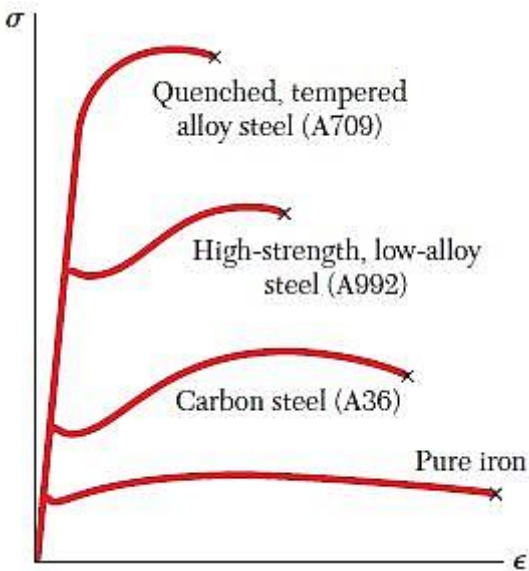
در نمودار تنش-کشش که تاکنون توجیح داده شده است تقارنت تنش از تقسیم نیروی لحظه ای P بر مساحت سطح مقطع اولیه نمونه (A_0) است. $\sigma = \frac{P}{A_0}$ بنابراین تنش بدست آمده، تنش واقعی نمی باشد بلکه آن تنش مهندسی می گویند. این درحالیست که در واقعیت، با افزایش نیروی P ، مساحت سطح مقطع کاهش می یابد و تنش واقعی عبارت است از $\sigma_t = \frac{P}{A}$.



اختلاف بین تنش مهندسی و تنش واقعی در نموداری
 تنش-کشش مواد نرم، بعد از نقطه تسلیم مسعود می شود.
 تنش مهندسی با بزرگتر نسبت سستیم دارد بنابراین در
 محدوده گداز شدن، با کاهش بزرگی P، تعداد تنش مهندسی
 کاهش می یابد. اما تنش واقعی که با مساحت سطح مقطع
 نسبت بکلوکس و با بزرگتر P نسبت سستیم دارد تا لحظه شکست
 همواره افزایش می یابد. برای رسم نمودار تنش-کشش واقعی (شکل ۱۵)
 باید علاوه بر تنش واقعی، کشش واقعی نیز محاسب گردد. کشش
 واقعی از رابطه زیر بدست می آید،

کشش واقعی $\epsilon_t = \int_{L_0}^L \frac{dL}{L} = \ln\left(\frac{L}{L_0}\right)$ (I)

2.1D) Hooke's law: Modulus of elasticity (2.1D) قانون هوک: مدول الاستیسیته



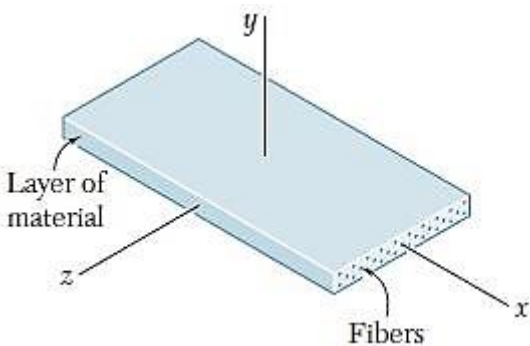
بسیاری از مراحلی که برای سازه های مهندسی انجام می شود به این منظور است که
 تغییر شکل داخلی سازه، کوچک باشد به بیان دیگر، رفتار ماده در محدوده خطی
 نمودار تنش-کشش باشد. در این محدوده، رابطه بین تنش-کشش عبارت
 است از:

$\sigma = E \epsilon$ (II)

رابطه (II) به قانون هوک معروف است. ضریب E نامی است که هم آن
 مدول الاستیسیته می گویند. بدلیل بی بعد بودن کشش، یکای مدول الاستیسیته با
 یکای تنش یکی می باشد.

نکته: ① در بسیاری موارد، با انجام تکمیری عملیات می تواند خواص مکانیکی
 ماده را تغییر داد (شکل ۱۷)

② برای اکثر مواد، رابطه $\sigma = E \epsilon$ مستقل از جهت بارگذاری می باشد
 که دلیل آن، مستقل بودن خواص ماده از جهت می باشد. به اصطلاح مواد
 همگن (isotropic) می گویند. مواد بی جهت دارند که خواص آنها در جهت های
 مختلف مسافت می باشد. به اصطلاح مواد ناهمگن (anisotropic)
 می گویند. مانند مواد کامپوزیتی کوب شده (شکل ۱۸).

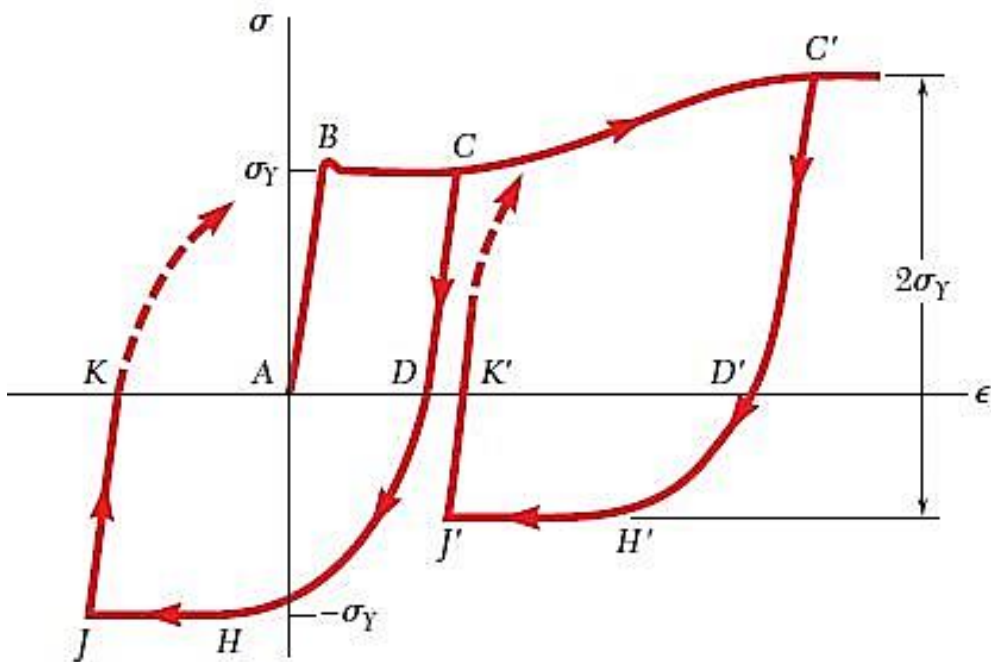
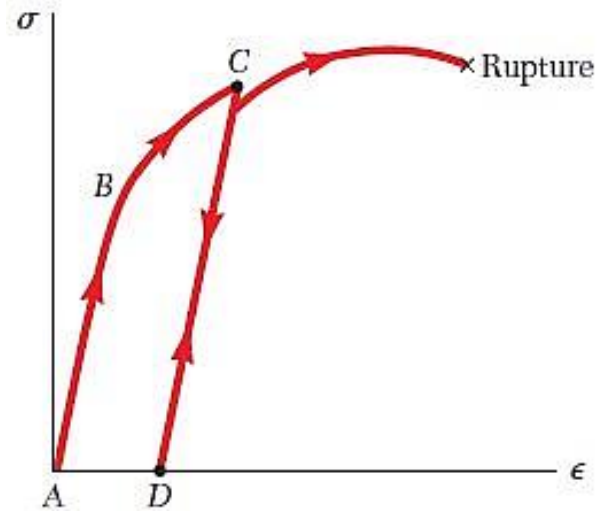
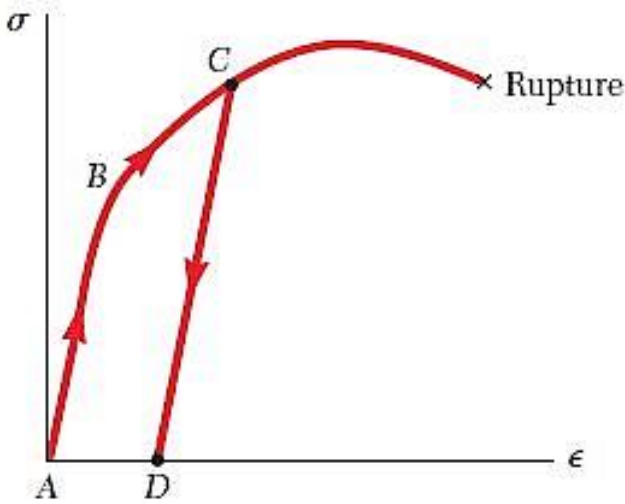


2.1E) Elastic versus plastic behavior of a material

2.1E) رفتار الاستیک در مقایسه با رفتار پلاستیک ماده

زمانیکه ماده رفتار الاستیک دارد که تغییر شکل ایجاد شده در جسم در اثر اعمال نیرو، با برداشتن نیرو از بین می‌رود. بزرگترین مقدار تنش که به ازای آن، جسم رفتار الاستیک دارد را حد الاستیک ماده می‌نامند.

زمانیکه ماده رفتار پلاستیک دارد که منجر از تغییر شکل ایجاد شده در جسم در اثر اعمال نیرو، با برداشتن نیرو، در جسم باقی می‌ماند (شکل‌های 19, 20).



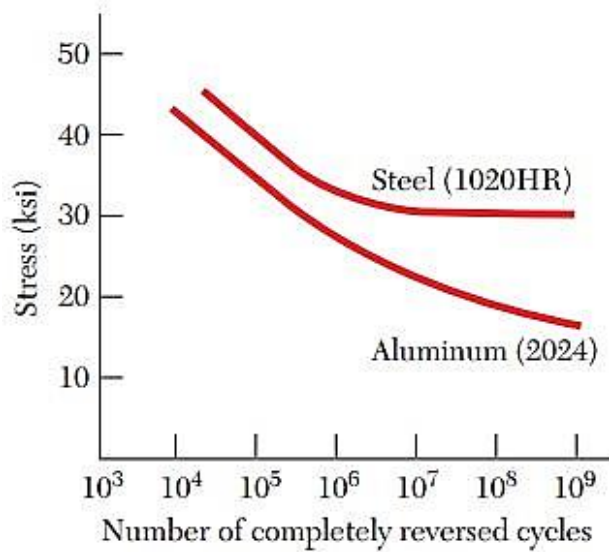
2.14) Repeated loadings and fatigue

(2.14) بارگذاری تکراری و پدیده خستگی

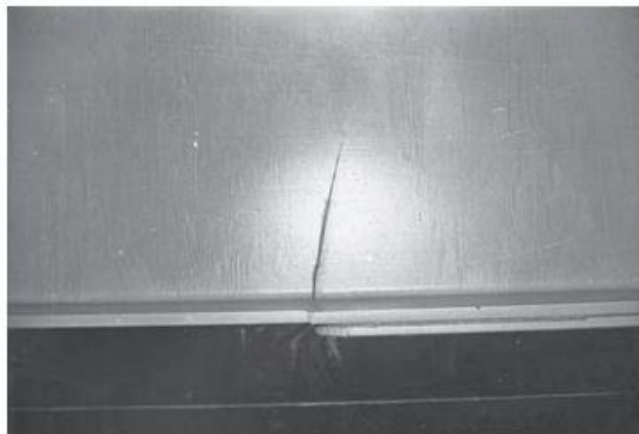
آزمایشگاه‌ها بیان شده‌اند که برای بارگذاری بود که هم مقدار و هم جهت بارگذاری همواره ثابت بوده است. اما حالت‌های دیگری وجود دارد که به عنوان بارگذاری با تغییر جهت یا بارگذاری متغیر اعمال می‌شود. به عنوان مثال، میل‌کنگ ماشین به ازای 200,000 مایل رانندگی، به اندازه نیم میلیون (نیم میلیارد) دفعه تحت بارگذاری متغیر قرار می‌گیرد. مثال دیگر، پلی است که با عبور خودرو از روی آن، بارگذاری‌های متغیر به آن اعمال می‌شود.

در یک چنین شرایطی که تعداد بارگذاری متغیر، هزاران یا میلیون دفعه می‌رسد، آزمایش نشان داده است که شکست در سازه به ازای تنش بسیار کم‌تری در مقایسه با تمارت ماده در حالت بارگذاری استاتیکی، اتفاق می‌افتد. این پدیده، خستگی (Fatigue) می‌گویند.

برای توصیف پدیده خستگی در یک ماده، از نمودار $S-N$ (تنش-عمر) استفاده می‌شود.



شکل (۲۲)



شکل (۲۳)

2.1.G) Deformations of members under axial loading

(2.1.G) تغییر شکل در عضوهای تحت بار محوری

میله BC را که تحت نیروی محوری P می باشد در نظر بگیرید (شکل ۲۴).

میله BC دارای جنس همگن بوده و طول و سطح مقطع آن به ترتیب

L و A می باشد. اگر تنش در میله از تنش تسلیم بیشتر نباشد برای

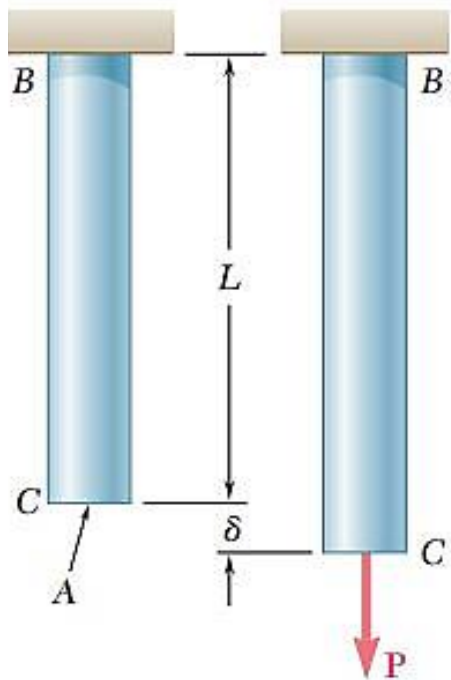
تعیین تغییر شکل در میله داریم:

$$\begin{cases} \delta = \frac{P}{A} & \text{I} \\ \delta = E\varepsilon & \text{II} \end{cases} \Rightarrow \frac{P}{A} = E\varepsilon \Rightarrow \varepsilon = \frac{P}{EA} \quad \text{III}$$

از طرفی می دانیم رابطه بین تغییر شکل در تنش در میله بصورت زیر می باشد:

$$\begin{cases} \varepsilon = \frac{\delta}{L} & \text{IV} \\ \varepsilon = \frac{P}{EA} & \text{III} \end{cases} \Rightarrow \frac{\delta}{L} = \frac{P}{EA} \Rightarrow \delta = \frac{PL}{EA} \quad \text{V}$$

$$\Rightarrow \delta_{C/B} = \delta_C - \delta_B = \delta_C = \frac{PL}{EA}$$



شکل (۲۴)

رابطه V برای تعیین تغییر شکل در میله ای قابل استفاده است که جنس میله همگن باشد (۷) سطح مقطع میله یکنواخت باشد، (۵) فقط در دو انتهای میله، بارگذاری اعمال شده باشد.

اگر حرکت از شرایط نون برقرار نباشد باید تغییراتی در رابطه V ایجاد نمود.

اگر میله در هذین نقطه در طول خود تحت بارگذاری قرار گیرد، یا اینکه میله

از هذین جنس ساخته شده باشد، یا اینکه سطح مقطع میله در طول آن

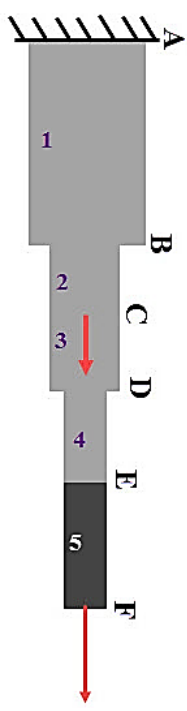
تغییر کند، آن گاه باید میله به قسمت های کوچکتر تقسیم شود تا برای هر

قسمت بتوان از رابطه V استفاده نمود. در این شرایط برای قسمت

نهم به ازای نیروی درونی P_i ، طول L_i ، سطح مقطع A_i و مدول الاستیسیته

E_i ، تغییر شکل در کل میله، از جمع تغییر شکل های ایجاد شده در هر قسمت

$$\delta = \delta_1 + \delta_2 + \delta_3 + \delta_4 + \delta_5 = \frac{P_1 L_1}{E_1 A_1} + \frac{P_2 L_2}{E_2 A_2} + \dots + \frac{P_5 L_5}{E_5 A_5} = \sum_{i=1}^N \frac{P_i L_i}{E_i A_i}$$



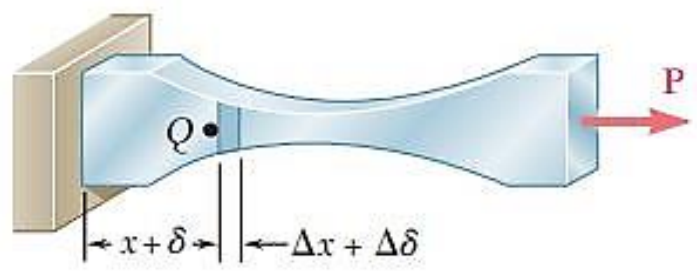
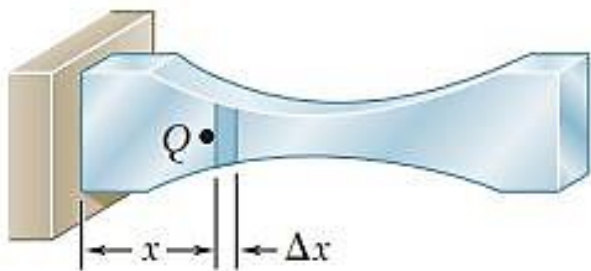
شکل (۲۵)

$$\Rightarrow \delta_{F/A} = \delta_{F/E} + \delta_{E/D} + \delta_{D/C} + \delta_{C/B} + \delta_{B/A} = \sum_{i=1}^N \frac{P_i L_i}{E_i A_i}$$

$E = E(x)$? $P = P(x)$? $A = A(x)$

$$\delta = \int_0^L \frac{P(x)}{E(x) A(x)} dx$$

در صورتیکه هر یک از عوامل E و A و P بر حسب
 تابعی از x باشند برای تعیین تغییر شکل در علم باید
 از رابطه \int استفاده نمود (شکل ۲۴)



شکل (۲۴)

Concept Application 2.1

Determine the deformation of the steel rod shown in Fig. 2.19a under the given loads ($E = 29 \times 10^6$ psi).

The rod is divided into three component parts in Fig. 2.19b, so

$$L_1 = L_2 = 12 \text{ in.} \quad L_3 = 16 \text{ in.}$$

$$A_1 = A_2 = 0.9 \text{ in}^2 \quad A_3 = 0.3 \text{ in}^2$$

To find the internal forces P_1 , P_2 , and P_3 , pass sections through each of the component parts, drawing each time the free-body diagram of the portion of rod located to the right of the section (Fig. 2.19c). Each of the free bodies is in equilibrium; thus

$$P_1 = 60 \text{ kips} = 60 \times 10^3 \text{ lb}$$

$$P_2 = -15 \text{ kips} = -15 \times 10^3 \text{ lb}$$

$$P_3 = 30 \text{ kips} = 30 \times 10^3 \text{ lb}$$

Using Eq. (2.10)

$$\delta = \sum_i \frac{P_i L_i}{A_i E_i} = \frac{1}{E} \left(\frac{P_1 L_1}{A_1} + \frac{P_2 L_2}{A_2} + \frac{P_3 L_3}{A_3} \right)$$

$$= \frac{1}{29 \times 10^6} \left[\frac{(60 \times 10^3)(12)}{0.9} + \frac{(-15 \times 10^3)(12)}{0.9} + \frac{(30 \times 10^3)(16)}{0.3} \right]$$

$$\delta = \frac{2.20 \times 10^6}{29 \times 10^6} = 75.9 \times 10^{-3} \text{ in.}$$

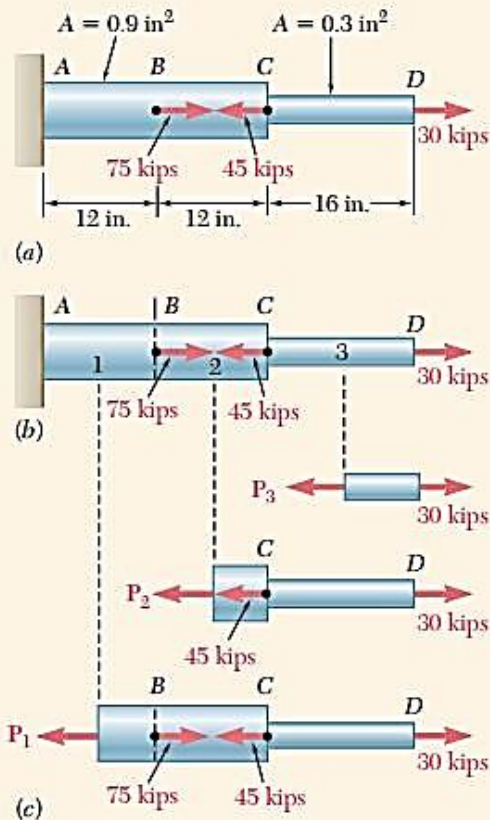
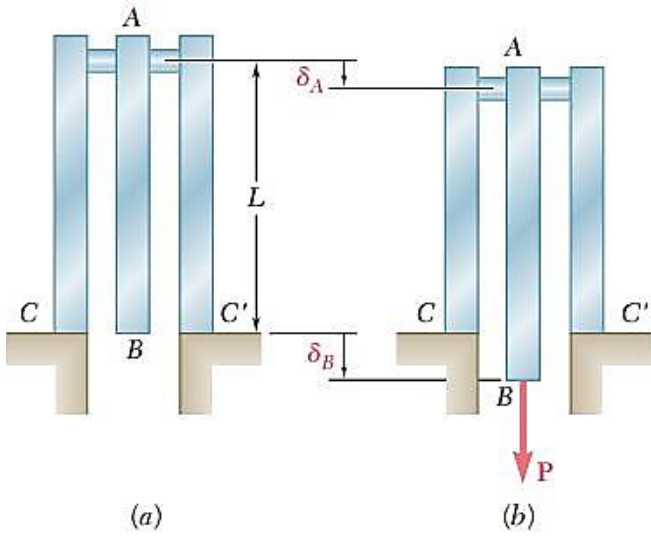


Fig. 2.19 (a) Axially-loaded rod. (b) Rod divided into three sections. (c) Three sectioned free-body diagrams with internal resultant forces P_1 , P_2 , and P_3 .

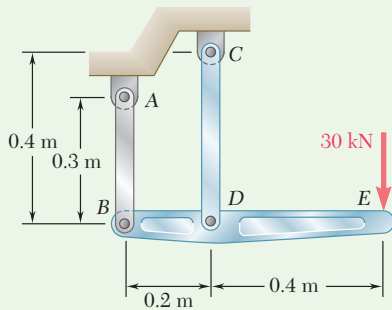
تذکره: در مکتبی سازده، برای یافتن میزان تغییر شکل
 یک نقطه از سازده، باید دقت نمود که آیا جایابی نقطه
 مورد نظر نسبت به یک نقطه ثابت نوشته می شود یا یک نقطه متغیر.
 (شکل ۲۷)



شکل (۲۷)

$$\left\{ \begin{aligned} \delta_B &= \delta_{B/A} + \delta_{A/C} \\ \delta_{B/A} &= \frac{P_{BA} L_{BA}}{E_{BA} A_{BA}} \\ \delta_{A/C} &= \frac{P_{AC} L_{AC}}{E_{AC} A_{AC}} \end{aligned} \right.$$

Sample Problem 2.1



The rigid bar BDE is supported by two links AB and CD . Link AB is made of aluminum ($E = 70$ GPa) and has a cross-sectional area of 500 mm^2 . Link CD is made of steel ($E = 200$ GPa) and has a cross-sectional area of 600 mm^2 . For the 30-kN force shown, determine the deflection (a) of B , (b) of D , and (c) of E .

STRATEGY: Consider the free body of the rigid bar to determine the internal force of each link. Knowing these forces and the properties of the links, their deformations can be evaluated. You can then use simple geometry to determine the deflection of E .

MODELING: Draw the free body diagrams of the rigid bar (Fig. 1) and the two links (Fig. 2 and 3)

ANALYSIS:

Free Body: Bar BDE (Fig. 1)

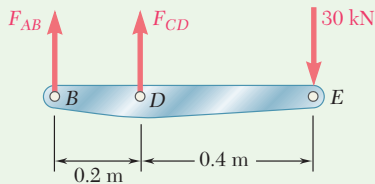


Fig. 1 Free-body diagram of rigid bar BDE .

$$\begin{aligned}
 +\uparrow \sum M_B = 0: & & -(30 \text{ kN})(0.6 \text{ m}) + F_{CD}(0.2 \text{ m}) &= 0 \\
 & & F_{CD} &= +90 \text{ kN} & F_{CD} &= 90 \text{ kN} \text{ tension} \\
 +\uparrow \sum M_D = 0: & & -(30 \text{ kN})(0.4 \text{ m}) - F_{AB}(0.2 \text{ m}) &= 0 \\
 & & F_{AB} &= -60 \text{ kN} & F_{AB} &= 60 \text{ kN} \text{ compression}
 \end{aligned}$$

a. Deflection of B. Since the internal force in link AB is compressive (Fig. 2), $P = -60$ kN and

$$\delta_B = \frac{PL}{AE} = \frac{(-60 \times 10^3 \text{ N})(0.3 \text{ m})}{(500 \times 10^{-6} \text{ m}^2)(70 \times 10^9 \text{ Pa})} = -514 \times 10^{-6} \text{ m}$$

The negative sign indicates a contraction of member AB . Thus, the deflection of end B is upward:

$$\delta_B = 0.514 \text{ mm} \uparrow \quad \blacktriangleleft$$

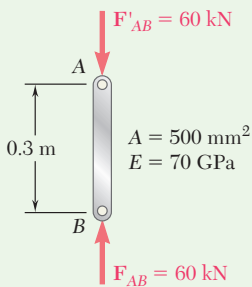


Fig. 2 Free-body diagram of two-force member AB .

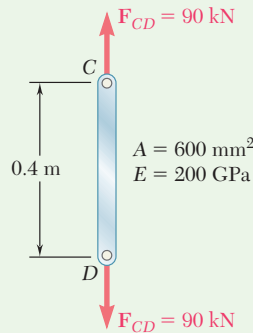


Fig. 3 Free-body diagram of two-force member CD .

(continued)

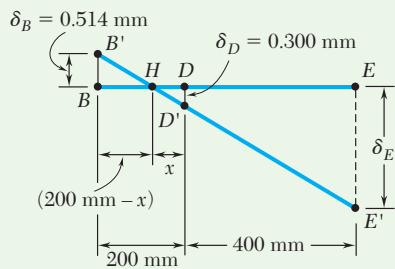


Fig. 4 Deflections at B and D of rigid bar are used to find δ_E .

b. Deflection of D . Since in rod CD (Fig. 3), $P = 90$ kN, write

$$\delta_D = \frac{PL}{AE} = \frac{(90 \times 10^3 \text{ N})(0.4 \text{ m})}{(600 \times 10^{-6} \text{ m}^2)(200 \times 10^9 \text{ Pa})}$$

$$= 300 \times 10^{-6} \text{ m} \quad \delta_D = \mathbf{0.300 \text{ mm} \downarrow}$$

c. Deflection of E . Referring to Fig. 4, we denote by B' and D' the displaced positions of points B and D . Since the bar BDE is rigid, points B' , D' , and E' lie in a straight line. Therefore,

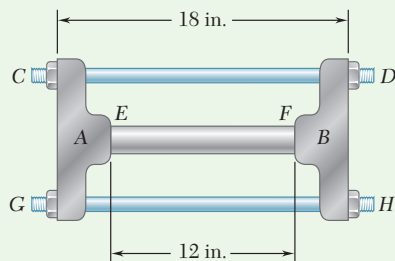
$$\frac{BB'}{DD'} = \frac{BH}{HD} \quad \frac{0.514 \text{ mm}}{0.300 \text{ mm}} = \frac{(200 \text{ mm}) - x}{x} \quad x = 73.7 \text{ mm}$$

$$\frac{EE'}{DD'} = \frac{HE}{HD} \quad \frac{\delta_E}{0.300 \text{ mm}} = \frac{(400 \text{ mm}) + (73.7 \text{ mm})}{73.7 \text{ mm}}$$

$$\delta_E = \mathbf{1.928 \text{ mm} \downarrow}$$

REFLECT and THINK: Comparing the relative magnitude and direction of the resulting deflections, you can see that the answers obtained are consistent with the loading and the deflection diagram of Fig. 4.

Sample Problem 2.2



The rigid castings A and B are connected by two $\frac{3}{4}$ -in.-diameter steel bolts CD and GH and are in contact with the ends of a 1.5-in.-diameter aluminum rod EF . Each bolt is single-threaded with a pitch of 0.1 in., and after being snugly fitted, the nuts at D and H are both tightened one-quarter of a turn. Knowing that E is 29×10^6 psi for steel and 10.6×10^6 psi for aluminum, determine the normal stress in the rod.

STRATEGY: The tightening of the nuts causes a displacement of the ends of the bolts relative to the rigid casting that is equal to the difference in displacements between the bolts and the rod. This will give a relation between the internal forces of the bolts and the rod that, when combined with a free body analysis of the rigid casting, will enable you to solve for these forces and determine the corresponding normal stress in the rod.

MODELING: Draw the free body diagrams of the bolts and rod (Fig. 1) and the rigid casting (Fig. 2).

ANALYSIS:

Deformations.

Bolts CD and GH . Tightening the nuts causes tension in the bolts (Fig. 1). Because of symmetry, both are subjected to the same

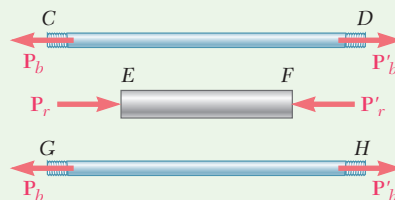


Fig. 1 Free-body diagrams of bolts and aluminum bar.

(continued)

internal force P_b and undergo the same deformation δ_b . Therefore,

$$\delta_b = +\frac{P_b L_b}{A_b E_b} = +\frac{P_b(18 \text{ in.})}{\frac{1}{4}\pi(0.75 \text{ in.})^2(29 \times 10^6 \text{ psi})} = +1.405 \times 10^{-6} P_b \quad (1)$$

Rod EF. The rod is in compression (Fig. 1), where the magnitude of the force is P_r and the deformation δ_r :

$$\delta_r = -\frac{P_r L_r}{A_r E_r} = -\frac{P_r(12 \text{ in.})}{\frac{1}{4}\pi(1.5 \text{ in.})^2(10.6 \times 10^6 \text{ psi})} = -0.6406 \times 10^{-6} P_r \quad (2)$$

Displacement of D Relative to B. Tightening the nuts one-quarter of a turn causes ends D and H of the bolts to undergo a displacement of $\frac{1}{4}(0.1 \text{ in.})$ relative to casting B . Considering end D ,

$$\delta_{D/B} = \frac{1}{4}(0.1 \text{ in.}) = 0.025 \text{ in.} \quad (3)$$

But $\delta_{D/B} = \delta_D - \delta_B$, where δ_D and δ_B represent the displacements of D and B . If casting A is held in a fixed position while the nuts at D and H are being tightened, these displacements are equal to the deformations of the bolts and of the rod, respectively. Therefore,

$$\delta_{D/B} = \delta_b - \delta_r \quad (4)$$

Substituting from Eqs. (1), (2), and (3) into Eq. (4),

$$0.025 \text{ in.} = 1.405 \times 10^{-6} P_b + 0.6406 \times 10^{-6} P_r \quad (5)$$

Free Body: Casting B (Fig. 2)

$$\rightarrow \Sigma F = 0: \quad P_r - 2P_b = 0 \quad P_r = 2P_b \quad (6)$$

Forces in Bolts and Rod Substituting for P_r from Eq. (6) into Eq. (5), we have

$$0.025 \text{ in.} = 1.405 \times 10^{-6} P_b + 0.6406 \times 10^{-6} (2P_b)$$

$$P_b = 9.307 \times 10^3 \text{ lb} = 9.307 \text{ kips}$$

$$P_r = 2P_b = 2(9.307 \text{ kips}) = 18.61 \text{ kips}$$

Stress in Rod

$$\sigma_r = \frac{P_r}{A_r} = \frac{18.61 \text{ kips}}{\frac{1}{4}\pi(1.5 \text{ in.})^2} \quad \sigma_r = 10.53 \text{ ksi} \quad \blacktriangleleft$$

REFLECT and THINK: This is an example of a *statically indeterminate* problem, where the determination of the member forces could not be found by equilibrium alone. By considering the relative displacement characteristics of the members, you can obtain additional equations necessary to solve such problems. Situations like this will be examined in more detail in the following section.

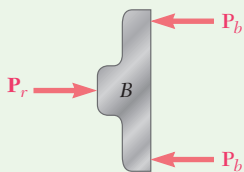


Fig. 2 Free-body diagram of rigid casting.

2.2) statically indeterminate problems مسائل که از نظر استاتیکی نامعین می‌باشند

آنچه که بیشتر برای ماشن تغییر شکل هر قسمه دلخواه از یک سازه مطرح شد به راحتی با استفاده از رسم دیاگرام آزاد و معادلات تعادل می‌توان نیروهای داخلی در هر بخش را بدست آورد. این در حالتی که در مسائل بی‌مارس، این امکان وجود ندارد. در یک چنین مسأله، باید از روابط دیگر استفاده نمود که در ادامه همین مثال در این رابطه ارائه می‌شود.

کامل ذکر است که می‌توان روشی را که برای حل مسائل نامعین استاتیکی می‌تواند استفاده از روش برهم نهی (superposition method) می‌باشند. در این روش، تاثر مجزوات، بصورت جداگانه در نظر گرفته می‌شود.

Concept Application 2.2

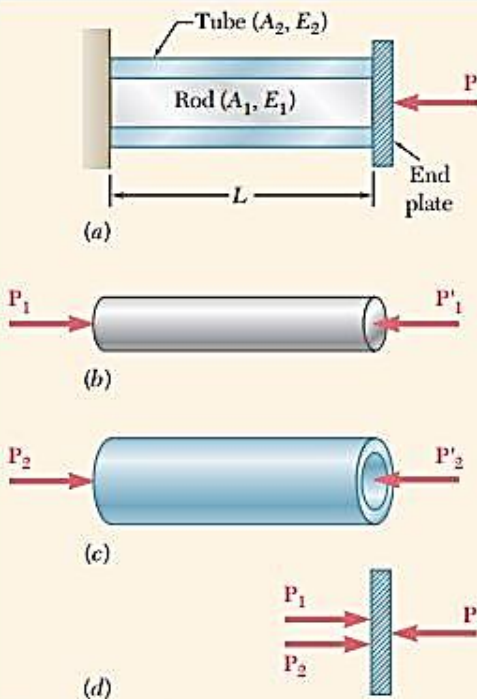


Fig. 2.21 (a) Concentric rod and tube, loaded by force P . (b) Free-body diagram of rod. (c) Free-body diagram of tube. (d) Free-body diagram of end plate.

A rod of length L , cross-sectional area A_1 , and modulus of elasticity E_1 , has been placed inside a tube of the same length L , but of cross-sectional area A_2 and modulus of elasticity E_2 (Fig. 2.21a). What is the deformation of the rod and tube when a force P is exerted on a rigid end plate as shown?

The axial forces in the rod and in the tube are P_1 and P_2 , respectively. Draw free-body diagrams of all three elements (Fig. 2.21b, c, d). Only Fig. 2.21d yields any significant information, as:

$$P_1 + P_2 = P \quad (1)$$

Clearly, one equation is not sufficient to determine the two unknown internal forces P_1 and P_2 . The problem is statically indeterminate.

However, the geometry of the problem shows that the deformations δ_1 and δ_2 of the rod and tube must be equal. Recalling Eq. (2.9), write

$$\delta_1 = \frac{P_1 L}{A_1 E_1} \quad \delta_2 = \frac{P_2 L}{A_2 E_2} \quad (2)$$

Equating the deformations δ_1 and δ_2 ,

$$\frac{P_1}{A_1 E_1} = \frac{P_2}{A_2 E_2} \quad (3)$$

Equations (1) and (3) can be solved simultaneously for P_1 and P_2 :

$$P_1 = \frac{A_1 E_1 P}{A_1 E_1 + A_2 E_2} \quad P_2 = \frac{A_2 E_2 P}{A_1 E_1 + A_2 E_2}$$

Either of Eqs. (2) can be used to determine the common deformation of the rod and tube.

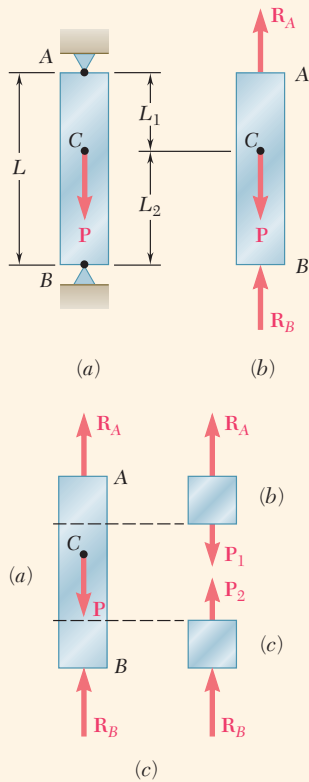


Fig. 2.22 (a) Restrained bar with axial load. (b) Free-body diagram of bar. (c) Free-body diagrams of sections above and below point C used to determine internal forces P_1 and P_2 .

Concept Application 2.3

A bar AB of length L and uniform cross section is attached to rigid supports at A and B before being loaded. What are the stresses in portions AC and BC due to the application of a load P at point C (Fig. 2.22a)?

Drawing the free-body diagram of the bar (Fig. 2.22b), the equilibrium equation is

$$R_A + R_B = P \quad (1)$$

Since this equation is not sufficient to determine the two unknown reactions R_A and R_B , the problem is statically indeterminate.

However, the reactions can be determined if observed from the geometry that the total elongation δ of the bar must be zero. The elongations of the portions AC and BC are respectively δ_1 and δ_2 , so

$$\delta = \delta_1 + \delta_2 = 0$$

Using Eq. (2.9), δ_1 and δ_2 can be expressed in terms of the corresponding internal forces P_1 and P_2 ,

$$\delta = \frac{P_1 L_1}{AE} + \frac{P_2 L_2}{AE} = 0 \quad (2)$$

Note from the free-body diagrams shown in parts b and c of Fig. 2.22c that $P_1 = R_A$ and $P_2 = -R_B$. Carrying these values into Equation (2),

$$R_A L_1 - R_B L_2 = 0 \quad (3)$$

Equations (1) and (3) can be solved simultaneously for R_A and R_B , as $R_A = PL_2/L$ and $R_B = PL_1/L$. The desired stresses σ_1 in AC and σ_2 in BC are obtained by dividing $P_1 = R_A$ and $P_2 = -R_B$ by the cross-sectional area of the bar:

$$\sigma_1 = \frac{PL_2}{AL} \quad \sigma_2 = -\frac{PL_1}{AL}$$

Concept Application 2.4

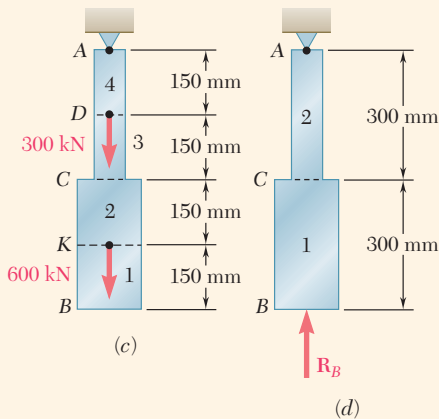
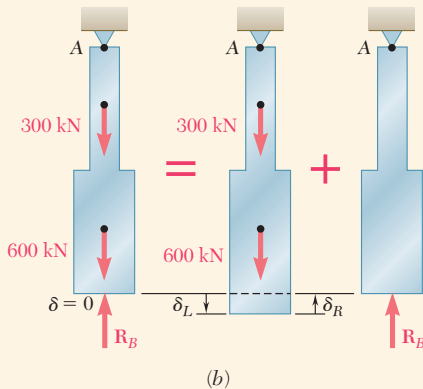
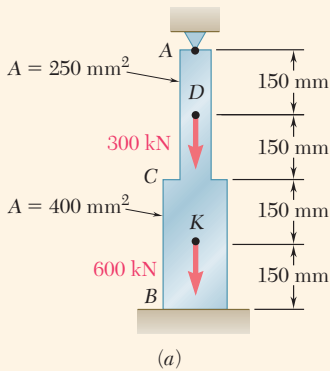


Fig. 2.23 (a) Restrained axially-loaded bar. (b) Reactions will be found by releasing constraint at point B and adding compressive force at point B to enforce zero deformation at point B. (c) Free-body diagram of released structure. (d) Free-body diagram of added reaction force at point B to enforce zero deformation at point B.

Determine the reactions at A and B for the steel bar and loading shown in Fig. 2.23a, assuming a close fit at both supports before the loads are applied.

We consider the reaction at B as redundant and release the bar from that support. The reaction R_B is considered to be an unknown load and is determined from the condition that the deformation δ of the bar equals zero.

The solution is carried out by considering the deformation δ_L caused by the given loads and the deformation δ_R due to the redundant reaction R_B (Fig. 2.23b).

The deformation δ_L is obtained from Eq. (2.10) after the bar has been divided into four portions, as shown in Fig. 2.23c. Follow the same procedure as in Concept Application 2.1:

$$P_1 = 0 \quad P_2 = P_3 = 600 \times 10^3 \text{ N} \quad P_4 = 900 \times 10^3 \text{ N}$$

$$A_1 = A_2 = 400 \times 10^{-6} \text{ m}^2 \quad A_3 = A_4 = 250 \times 10^{-6} \text{ m}^2$$

$$L_1 = L_2 = L_3 = L_4 = 0.150 \text{ m}$$

Substituting these values into Eq. (2.10),

$$\delta_L = \sum_{i=1}^4 \frac{P_i L_i}{A_i E} = \left(0 + \frac{600 \times 10^3 \text{ N}}{400 \times 10^{-6} \text{ m}^2} + \frac{600 \times 10^3 \text{ N}}{250 \times 10^{-6} \text{ m}^2} + \frac{900 \times 10^3 \text{ N}}{250 \times 10^{-6} \text{ m}^2} \right) \frac{0.150 \text{ m}}{E}$$

$$\delta_L = \frac{1.125 \times 10^9}{E} \quad (1)$$

Considering now the deformation δ_R due to the redundant reaction R_B , the bar is divided into two portions, as shown in Fig. 2.23d

$$P_1 = P_2 = -R_B$$

$$A_1 = 400 \times 10^{-6} \text{ m}^2 \quad A_2 = 250 \times 10^{-6} \text{ m}^2$$

$$L_1 = L_2 = 0.300 \text{ m}$$

Substituting these values into Eq. (2.10),

$$\delta_R = \frac{P_1 L_1}{A_1 E} + \frac{P_2 L_2}{A_2 E} = - \frac{(1.95 \times 10^3) R_B}{E} \quad (2)$$

Express the total deformation δ of the bar as zero:

$$\delta = \delta_L + \delta_R = 0 \quad (3)$$

and, substituting for δ_L and δ_R from Eqs. (1) and (2) into Eqs. (3),

$$\delta = \frac{1.125 \times 10^9}{E} - \frac{(1.95 \times 10^3) R_B}{E} = 0$$

(continued)

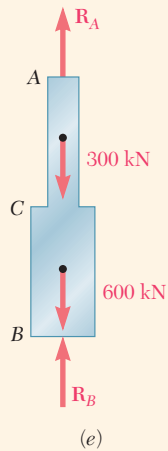


Fig. 2.23 (cont.) (e) Complete free-body diagram of ACB.

Solving for R_B ,

$$R_B = 577 \times 10^3 \text{ N} = 577 \text{ kN}$$

The reaction R_A at the upper support is obtained from the free-body diagram of the bar (Fig. 2.23e),

$$+\uparrow \Sigma F_y = 0: \quad R_A - 300 \text{ kN} - 600 \text{ kN} + R_B = 0$$

$$R_A = 900 \text{ kN} - R_B = 900 \text{ kN} - 577 \text{ kN} = 323 \text{ kN}$$

Once the reactions have been determined, the stresses and strains in the bar can easily be obtained. Note that, while the total deformation of the bar is zero, each of its component parts *does deform* under the given loading and restraining conditions.

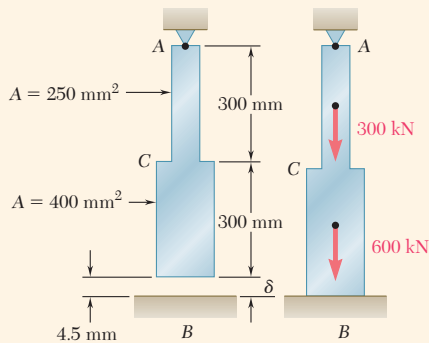


Fig. 2.24 Multi-section bar of Concept Application 2.4 with initial 4.5-mm gap at point B. Loading brings bar into contact with constraint.

Concept Application 2.5

Determine the reactions at A and B for the steel bar and loading of Concept Application 2.4, assuming now that a 4.5-mm clearance exists between the bar and the ground before the loads are applied (Fig. 2.24). Assume $E = 200 \text{ GPa}$.

Considering the reaction at B to be redundant, compute the deformations δ_L and δ_R caused by the given loads and the redundant reaction R_B . However, in this case, the total deformation is $\delta = 4.5 \text{ mm}$. Therefore,

$$\delta = \delta_L + \delta_R = 4.5 \times 10^{-3} \text{ m} \quad (1)$$

Substituting for δ_L and δ_R into (Eq. 1), and recalling that $E = 200 \text{ GPa} = 200 \times 10^9 \text{ Pa}$,

$$\delta = \frac{1.125 \times 10^9}{200 \times 10^9} - \frac{(1.95 \times 10^3)R_B}{200 \times 10^9} = 4.5 \times 10^{-3} \text{ m}$$

Solving for R_B ,

$$R_B = 115.4 \times 10^3 \text{ N} = 115.4 \text{ kN}$$

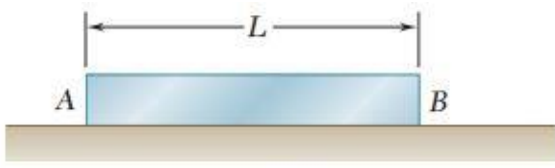
The reaction at A is obtained from the free-body diagram of the bar (Fig. 2.23e):

$$+\uparrow \Sigma F_y = 0: \quad R_A - 300 \text{ kN} - 600 \text{ kN} + R_B = 0$$

$$R_A = 900 \text{ kN} - R_B = 900 \text{ kN} - 115.4 \text{ kN} = 785 \text{ kN}$$

2.3) Problems involving temperature changes. مسائلی که شامل تغییرات دما می باشند.

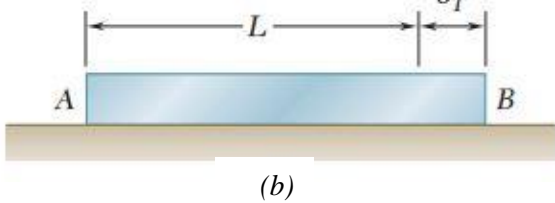
مسائلی وجود دارند که در آنجا، عامل ایجاد تغییر شکل در میله، پدیده منبسطی، تغییرات دما می باشند. در این راستا، دو نوع مسئله وجود دارد.



۱) میله AB از جنس همگن و با سطح مقطع یکپارچه است و در نظر بگیریم که آزادانه در سطح بدون اصطکاک قرار دارد (شکل ۲۸).

اگر دمای میله به اندازه ΔT تغییر نماید، تغییر شکل در آن عبارت است از (شکل ۲۸ب)

شکل (۲۸)



$$\delta_T = \alpha L (\Delta T) \quad (m) \quad \textcircled{I}$$

که در رابطه \textcircled{I} ، α ضریب انبساط حرارتی بوده و یکای آن $\frac{1}{C}$ یا $\frac{1}{F}$ می باشد و مقدار آن وابسته به جنس میله می باشد.

با استفاده از رابطه \textcircled{I} می توان کرنش میله را محاسب نمود که م آن کرنش حرارتی (Thermal strain) می گویند.

$$\epsilon_T = \frac{\delta_T}{L} = \alpha (\Delta T) \quad \textcircled{II}$$

دقت نمود در میله با شرایط نشان داده شده در شکل (۲۸ا)، هیچ گونه منبسطی ایجاد نمی شود!

۲) تیری را در نظر بگیریم که دو طرف آن دارای تکیه گاه گرد قرار

می باشد و در حالت اول، هیچ گونه تنش یا کرنشی در آن وجود

ندارد (شکل ۲۹ا). اگر دمای میله به اندازه ΔT تغییر

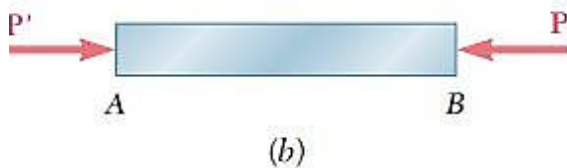
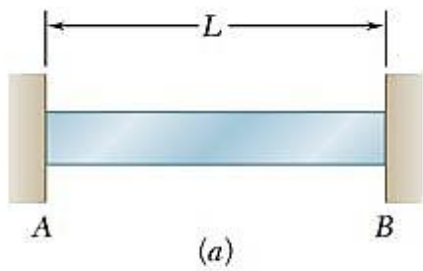
کند بدلیل نوع شرایط مرزی، طول میله تغییر نمی کند. $\delta_T = 0$.

بنابراین هیچ گونه کرنشی در جسم ایجاد نمی شود. $\epsilon_T = \frac{\delta_T}{L} = 0$.

زاد و منبسطی هم اندازه و مخالف جهت برد و انقباض میله اثر می گذارند تا مابقی تغییر طول میله، ناشی از تغییرات دما را بگیرند

(شکل ۲۹ب). این منبسطی سبب ایجاد تنش در میله می شود با وجود

کنش کرنشی در آن ایجاد نشده است. در این حالت، سائک نامعین است و برای تحلیل آن باید از روش برهم کنی استفاده نمود.



شکل (۲۹)

در این حالت، سائک نامعین است و برای تحلیل آن باید از روش برهم کنی استفاده نمود.

در این مسئله، دو عامل ΔT و نیروی ناشی از ΔT که در طبقه گاه
ظاهر می شود محمول می باشند. بنابراین باید تأثیر این دو عامل،
صورت جداگانه در نظر گرفته شود (شکل ۳۰).

الف) ابتدا فقط تأثیر ΔT در نظر گرفته می شود و از اثر نیروی P
صرفاً می شود. در این حالت میزان تغییر شکل در طبقه عبارت است
از (شکل ۳۰ ب).

$$\delta_T = \alpha L (\Delta T) \quad \text{I}$$

ب) اکنون فرض می شود نیروی P اعمال شده است و تغییر طول طبقه
ناشی از نیروی P باید برابر باشد با (شکل ۳۰ ج)

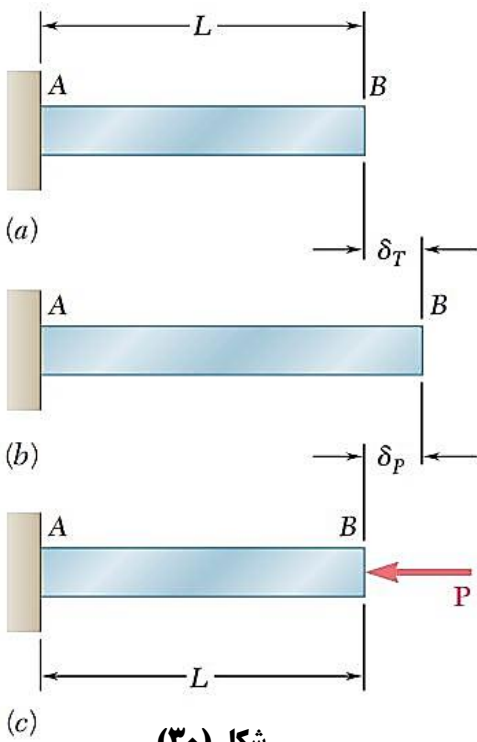
ج) اکنون تأثیر هر دو عامل ΔT و P صورت همزمان در نظر گرفته می شود. در این حالت، میزان تغییر شکل در طبقه
باید صفر شود یعنی:

$$\delta_{\text{کل}} = \delta_T + \delta_P = \frac{PL}{EA} + \alpha L (\Delta T) = 0$$

$$\Rightarrow P = -EA\alpha (\Delta T)$$

$$\left\{ \begin{aligned} \sigma &= \frac{P}{A} = -E\alpha (\Delta T) \end{aligned} \right.$$

تذکره: مسئله برده شده، یک حالت ساده می باشد و نمی توان روابط آن را برای تمامی مسائل بسط داد. بلکه باید برای هر
مسئله، شرایط خاص آن را در نظر گرفت.



شکل (۳۰)

$$\delta_P = \frac{PL}{EA} \quad \text{II}$$

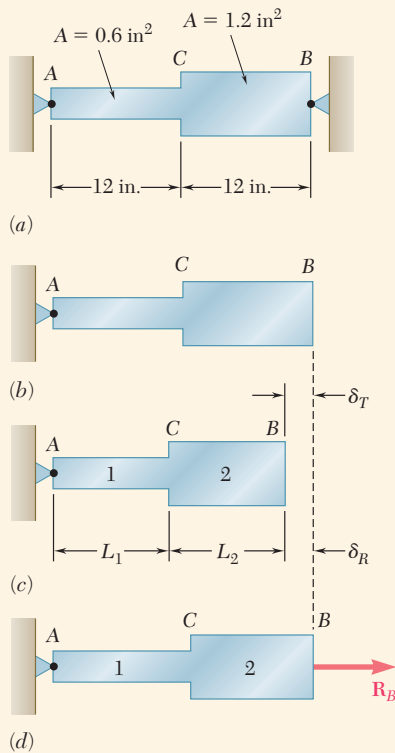


Fig. 2.28 (a) Restrained bar. (b) Bar at $+75^\circ\text{F}$ temperature. (c) Bar at lower temperature. (d) Force R_B needed to enforce zero deformation at point B.

Concept Application 2.6

Determine the values of the stress in portions AC and CB of the steel bar shown (Fig. 2.28a) when the temperature of the bar is -50°F , knowing that a close fit exists at both of the rigid supports when the temperature is $+75^\circ\text{F}$. Use the values $E = 29 \times 10^6 \text{ psi}$ and $\alpha = 6.5 \times 10^{-6}/^\circ\text{F}$ for steel.

Determine the reactions at the supports. Since the problem is statically indeterminate, detach the bar from its support at B and let it undergo the temperature change

$$\Delta T = (-50^\circ\text{F}) - (75^\circ\text{F}) = -125^\circ\text{F}$$

The corresponding deformation (Fig. 2.28c) is

$$\begin{aligned} \delta_T &= \alpha(\Delta T)L = (6.5 \times 10^{-6}/^\circ\text{F})(-125^\circ\text{F})(24 \text{ in.}) \\ &= -19.50 \times 10^{-3} \text{ in.} \end{aligned}$$

Applying the unknown force R_B at end B (Fig. 2.28d), use Eq. (2.10) to express the corresponding deformation δ_R . Substituting

$$\begin{aligned} L_1 &= L_2 = 12 \text{ in.} \\ A_1 &= 0.6 \text{ in}^2 \quad A_2 = 1.2 \text{ in}^2 \\ P_1 &= P_2 = R_B \quad E = 29 \times 10^6 \text{ psi} \end{aligned}$$

into Eq. (2.10), write

$$\begin{aligned} \delta_R &= \frac{P_1 L_1}{A_1 E} + \frac{P_2 L_2}{A_2 E} \\ &= \frac{R_B}{29 \times 10^6 \text{ psi}} \left(\frac{12 \text{ in.}}{0.6 \text{ in}^2} + \frac{12 \text{ in.}}{1.2 \text{ in}^2} \right) \\ &= (1.0345 \times 10^{-6} \text{ in./lb}) R_B \end{aligned}$$

Expressing that the total deformation of the bar must be zero as a result of the imposed constraints, write

$$\begin{aligned} \delta &= \delta_T + \delta_R = 0 \\ &= -19.50 \times 10^{-3} \text{ in.} + (1.0345 \times 10^{-6} \text{ in./lb}) R_B = 0 \end{aligned}$$

from which

$$R_B = 18.85 \times 10^3 \text{ lb} = 18.85 \text{ kips}$$

The reaction at A is equal and opposite.

Noting that the forces in the two portions of the bar are $P_1 = P_2 = 18.85 \text{ kips}$, obtain the following values of the stress in portions AC and CB of the bar:

(continued)

$$\sigma_1 = \frac{P_1}{A_1} = \frac{18.85 \text{ kips}}{0.6 \text{ in}^2} = +31.42 \text{ ksi}$$

$$\sigma_2 = \frac{P_2}{A_2} = \frac{18.85 \text{ kips}}{1.2 \text{ in}^2} = +15.71 \text{ ksi}$$

It cannot be emphasized too strongly that, while the *total deformation* of the bar must be zero, the deformations of the portions *AC* and *CB* are *not zero*. A solution of the problem based on the assumption that these deformations are zero would therefore be wrong. Neither can the values of the strain in *AC* or *CB* be assumed equal to zero. To amplify this point, determine the strain ϵ_{AC} in portion *AC* of the bar. The strain ϵ_{AC} can be divided into two component parts; one is the thermal strain ϵ_T produced in the unrestrained bar by the temperature change ΔT (Fig. 2.28*c*). From Eq. (2.14),

$$\begin{aligned}\epsilon_T &= \alpha \Delta T = (6.5 \times 10^{-6}/^\circ\text{F})(-125^\circ\text{F}) \\ &= -812.5 \times 10^{-6} \text{ in./in.}\end{aligned}$$

The other component of ϵ_{AC} is associated with the stress σ_1 due to the force \mathbf{R}_B applied to the bar (Fig. 2.28*d*). From Hooke's law, express this component of the strain as

$$\frac{\sigma_1}{E} = \frac{+31.42 \times 10^3 \text{ psi}}{29 \times 10^6 \text{ psi}} = +1083.4 \times 10^{-6} \text{ in./in.}$$

Add the two components of the strain in *AC* to obtain

$$\begin{aligned}\epsilon_{AC} &= \epsilon_T + \frac{\sigma_1}{E} = -812.5 \times 10^{-6} + 1083.4 \times 10^{-6} \\ &= +271 \times 10^{-6} \text{ in./in.}\end{aligned}$$

A similar computation yields the strain in portion *CB* of the bar:

$$\begin{aligned}\epsilon_{CB} &= \epsilon_T + \frac{\sigma_2}{E} = -812.5 \times 10^{-6} + 541.7 \times 10^{-6} \\ &= -271 \times 10^{-6} \text{ in./in.}\end{aligned}$$

The deformations δ_{AC} and δ_{CB} of the two portions of the bar are

$$\begin{aligned}\delta_{AC} &= \epsilon_{AC}(AC) = (+271 \times 10^{-6})(12 \text{ in.}) \\ &= +3.25 \times 10^{-3} \text{ in.} \\ \delta_{CB} &= \epsilon_{CB}(CB) = (-271 \times 10^{-6})(12 \text{ in.}) \\ &= -3.25 \times 10^{-3} \text{ in.}\end{aligned}$$

Thus, while the sum $\delta = \delta_{AC} + \delta_{CB}$ of the two deformations is zero, neither of the deformations is zero.

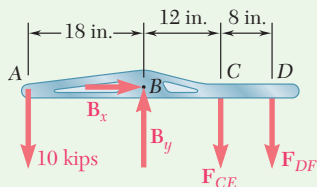
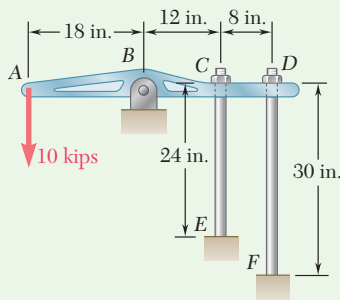


Fig. 1 Free-body diagram of rigid bar $ABCD$.

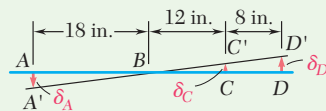


Fig. 2 Linearly proportional displacements along rigid bar $ABCD$.

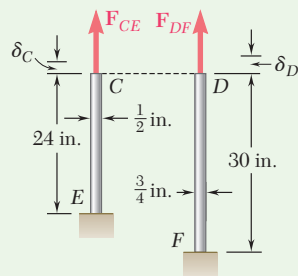


Fig. 3 Forces and deformations in CE and DF .

Sample Problem 2.3

The $\frac{1}{2}$ -in.-diameter rod CE and the $\frac{3}{4}$ -in.-diameter rod DF are attached to the rigid bar $ABCD$ as shown. Knowing that the rods are made of aluminum and using $E = 10.6 \times 10^6$ psi, determine (a) the force in each rod caused by the loading shown and (b) the corresponding deflection of point A .

STRATEGY: To solve this statically indeterminate problem, you must supplement static equilibrium with a relative deflection analysis of the two rods.

MODELING: Draw the free body diagram of the bar (Fig. 1)

ANALYSIS:

Statics. Considering the free body of bar $ABCD$ in Fig. 1, note that the reaction at B and the forces exerted by the rods are indeterminate. However, using statics,

$$+\uparrow \Sigma M_B = 0: \quad (10 \text{ kips})(18 \text{ in.}) - F_{CE}(12 \text{ in.}) - F_{DF}(20 \text{ in.}) = 0$$

$$12F_{CE} + 20F_{DF} = 180 \quad (1)$$

Geometry. After application of the 10-kip load, the position of the bar is $A'BC'D'$ (Fig. 2). From the similar triangles BAA' , BCC' , and BDD' ,

$$\frac{\delta_C}{12 \text{ in.}} = \frac{\delta_D}{20 \text{ in.}} \quad \delta_C = 0.6\delta_D \quad (2)$$

$$\frac{\delta_A}{18 \text{ in.}} = \frac{\delta_D}{20 \text{ in.}} \quad \delta_A = 0.9\delta_D \quad (3)$$

Deformations. Using Eq. (2.9), and the data shown in Fig. 3, write

$$\delta_C = \frac{F_{CE}L_{CE}}{A_{CE}E} \quad \delta_D = \frac{F_{DF}L_{DF}}{A_{DF}E}$$

Substituting for δ_C and δ_D into Eq. (2), write

$$\delta_C = 0.6\delta_D \quad \frac{F_{CE}L_{CE}}{A_{CE}E} = 0.6 \frac{F_{DF}L_{DF}}{A_{DF}E}$$

$$F_{CE} = 0.6 \frac{L_{DF} A_{CE}}{L_{CE} A_{DF}} F_{DF} = 0.6 \left(\frac{30 \text{ in.}}{24 \text{ in.}} \right) \left[\frac{\frac{1}{4}\pi(\frac{1}{2} \text{ in.})^2}{\frac{1}{4}\pi(\frac{3}{4} \text{ in.})^2} \right] F_{DF} \quad F_{CE} = 0.333F_{DF}$$

Force in Each Rod. Substituting for F_{CE} into Eq. (1) and recalling that all forces have been expressed in kips,

$$12(0.333F_{DF}) + 20F_{DF} = 180 \quad F_{DF} = 7.50 \text{ kips} \quad \blacktriangleleft$$

$$F_{CE} = 0.333F_{DF} = 0.333(7.50 \text{ kips}) \quad F_{CE} = 2.50 \text{ kips} \quad \blacktriangleleft$$

(continued)

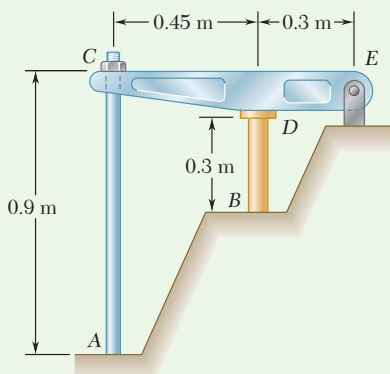
Deflections. The deflection of point D is

$$\delta_D = \frac{F_{DF}L_{DF}}{A_{DF}E} = \frac{(7.50 \times 10^3 \text{ lb})(30 \text{ in.})}{\frac{1}{4}\pi(\frac{3}{4} \text{ in.})^2(10.6 \times 10^6 \text{ psi})} \quad \delta_D = 48.0 \times 10^{-3} \text{ in.}$$

Using Eq. (3),

$$\delta_A = 0.9\delta_D = 0.9(48.0 \times 10^{-3} \text{ in.}) \quad \delta_A = 43.2 \times 10^{-3} \text{ in.} \quad \blacktriangleleft$$

REFLECT and THINK: You should note that as the rigid bar rotates about B , the deflections at C and D are proportional to their distance from the pivot point B , but *the forces exerted by the rods at these points are not*. Being statically indeterminate, these forces depend upon the deflection attributes of the rods as well as the equilibrium of the rigid bar.



Sample Problem 2.4

The rigid bar CDE is attached to a pin support at E and rests on the 30-mm-diameter brass cylinder BD . A 22-mm-diameter steel rod AC passes through a hole in the bar and is secured by a nut that is snugly fitted when the temperature of the entire assembly is 20°C . The temperature of the brass cylinder is then raised to 50°C , while the steel rod remains at 20°C . Assuming that no stresses were present before the temperature change, determine the stress in the cylinder.

Rod AC : Steel	Cylinder BD : Brass
$E = 200 \text{ GPa}$	$E = 105 \text{ GPa}$
$\alpha = 11.7 \times 10^{-6}/^\circ\text{C}$	$\alpha = 20.9 \times 10^{-6}/^\circ\text{C}$

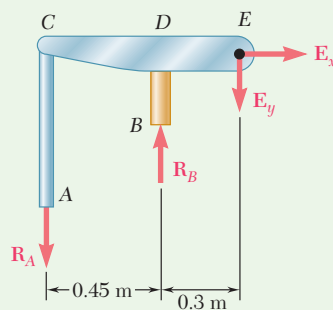


Fig. 1 Free-body diagram of bolt, cylinder and bar.

STRATEGY: You can use the method of superposition, considering \mathbf{R}_B as redundant. With the support at B removed, the temperature rise of the cylinder causes point B to move down through δ_T . The reaction \mathbf{R}_B must cause a deflection δ_1 , equal to δ_T so that the final deflection of B will be zero (Fig. 2)

MODELING: Draw the free-body diagram of the entire assembly (Fig. 1).

ANALYSIS:

Statics. Considering the free body of the entire assembly, write

$$+\uparrow \sum M_E = 0: \quad R_A(0.75 \text{ m}) - R_B(0.3 \text{ m}) = 0 \quad R_A = 0.4R_B \quad \text{(1)}$$

(continued)

Deflection δ_T . Because of a temperature rise of $50^\circ - 20^\circ = 30^\circ\text{C}$, the length of the brass cylinder increases by δ_T . (Fig. 2a).

$$\delta_T = L(\Delta T)\alpha = (0.3 \text{ m})(30^\circ\text{C})(20.9 \times 10^{-6}/^\circ\text{C}) = 188.1 \times 10^{-6} \text{ m} \downarrow$$

Deflection δ_1 . From Fig. 2b, note that $\delta_D = 0.4\delta_C$ and $\delta_1 = \delta_D + \delta_{B/D}$.

$$\delta_C = \frac{R_A L}{AE} = \frac{R_A(0.9 \text{ m})}{\frac{1}{4}\pi(0.022 \text{ m})^2(200 \text{ GPa})} = 11.84 \times 10^{-9} R_A \uparrow$$

$$\delta_D = 0.40\delta_C = 0.4(11.84 \times 10^{-9} R_A) = 4.74 \times 10^{-9} R_A \uparrow$$

$$\delta_{B/D} = \frac{R_B L}{AE} = \frac{R_B(0.3 \text{ m})}{\frac{1}{4}\pi(0.03 \text{ m})^2(105 \text{ GPa})} = 4.04 \times 10^{-9} R_B \uparrow$$

Recall from Eq. (1) that $R_A = 0.4R_B$, so

$$\delta_1 = \delta_D + \delta_{B/D} = [4.74(0.4R_B) + 4.04R_B]10^{-9} = 5.94 \times 10^{-9} R_B \uparrow$$

But $\delta_T = \delta_1$: $188.1 \times 10^{-6} \text{ m} = 5.94 \times 10^{-9} R_B$ $R_B = 31.7 \text{ kN}$

Stress in Cylinder: $\sigma_B = \frac{R_B}{A} = \frac{31.7 \text{ kN}}{\frac{1}{4}\pi(0.03 \text{ m})^2}$ $\sigma_B = 44.8 \text{ MPa}$ ◀

REFLECT and THINK: This example illustrates the large stresses that can develop in statically indeterminate systems due to even modest temperature changes. Note that if this assembly was statically determinate (i.e., the steel rod was removed), no stress at all would develop in the cylinder due to the temperature change.

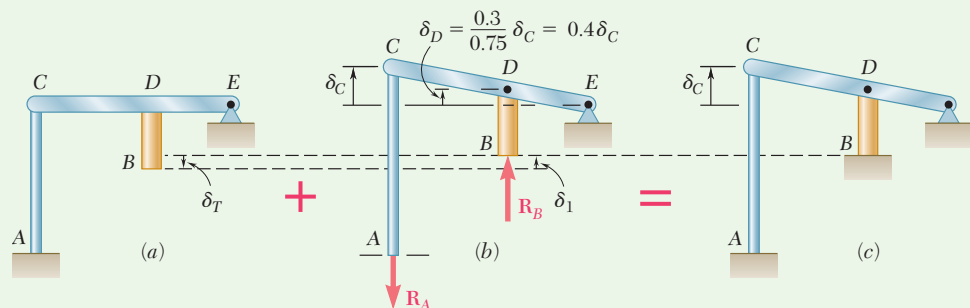


Fig. 2 Superposition of thermal and restraint force deformations (a) Support at B removed. (b) Reaction at B applied. (c) Final position.